

Ж. О. АХИНЯН, А. Г. БАГДОЕВ

ДВИЖЕНИЕ УПРУГОГО ПОЛУПРОСТРАНСТВА ПОД ДЕЙСТВИЕМ УДАРНОЙ ВОЛНЫ В МАГНИТНОМ ПОЛЕ

Рассматривается задача о движении полупространства, заполненного идеально проводящим упругим веществом, граничащего с диэлектриком (воздух) и находящегося в первоначально однородном вертикальном магнитном поле H_0 , под действием переменного давления, распространяющегося по поверхности проводника в виде ударной волны.

Физически такая задача возникает при взрыве на поверхности упругого тела, причем приближенно можно считать давление на поверхности таким же, как при отражении ударной волны от твердой стенки и давление на поверхности считать известным.

Требуется определить скорости частиц упругой среды, напряжения и деформации, а также индуцированное магнитное поле в упругой среде и в диэлектрике.

В одномерной постановке поставленная задача рассматривалась в [1, 2]. Для упругой и упруго-пластической среды в отсутствии магнитного поля ряд нестационарных задач рассмотрен в [3, 4, 5, 6].

Для задач магнитной газодинамики сходные по постановке задачи рассмотрены в [7].

§ 1. Поскольку упругое твердое тело является плотной средой, даже для значительных давлений можно считать возникающее движение малым и пользоваться линейными уравнениями упругости с учетом объемных сил Лоренца.

Уравнения для бесконечно-проводящей упругой среды состоят из уравнений Максвелла и уравнений движения, имеющих вид

$$\text{rot } \bar{h} = \frac{4\pi}{c} \bar{j}, \quad \bar{E} = - \frac{\mu}{c} \left(\frac{\partial \bar{u}}{\partial t} \times \bar{H}_0 \right), \quad \bar{h} = \text{rot} (\bar{u} \times \bar{H}_0) \quad (1.1)$$

и

$$c \frac{\partial^2 \bar{u}}{\partial t^2} = G \nabla^2 \bar{u} + (\lambda + G) \text{grad} \text{div} \bar{u} + \frac{\mu}{c} (\bar{j} \times \bar{H}_0) \quad (1.2)$$

Здесь начальное однородное магнитное поле \bar{H}_0 , имеющее компоненты $(0, H_0, 0)$, \bar{h} —возмущенное магнитное поле, \bar{u} —вектор перемещения частиц упругой среды, \bar{E} —электрическое поле, c —скорость света, μ —магнитная проницаемость, λ , G —модули упругости [4], ρ —плотность среды, \bar{j} —плотность тока.

Задача предполагается плоской, причем движение не зависит от координаты z , ось $0x$ выбрана по поверхности среды, ось $0y$ —нормально к ней вглубь среды.

Границные условия на поверхности $y = 0$ имеют вид [1]

$$H_y = H_{y0}, \quad \tau_y + T_{22} - T_{12}^* = -P_1(x, t); \quad \tau_{xy} + T_{12} - T_{12}^* = 0 \quad (1.3)$$

Здесь $P_1(x, t)$ —приложенное на границе давление, τ_y, τ_{xy} —нормальное и касательное напряжения на границе $y = 0$, причем согласно [4] имеет место связь напряжений и деформаций

$$\begin{aligned} \sigma_x &= \lambda \left(\frac{\partial u}{\partial x} + \frac{\partial v}{\partial y} \right) + 2G \frac{\partial u}{\partial x}, \quad \sigma_y = \lambda \left(\frac{\partial u}{\partial x} + \frac{\partial v}{\partial y} \right) + 2G \frac{\partial v}{\partial y} \\ \tau_{xy} &= G \left(\frac{\partial u}{\partial y} + \frac{\partial v}{\partial x} \right) \end{aligned} \quad . \quad (1.4)$$

где u, v —проекции вектора \bar{u} по осям x, y . Входящие в (1.3) компоненты максвелловского тензора напряжений имеют вид [8]

$$\begin{aligned} T_{11} &= \left[H_x^2 - \frac{1}{2} (H_x^2 + H_y^2) \right] \frac{\mu}{4\pi}, \quad T_{12} = \frac{\mu}{4\pi} H_x H_y \\ T_{22} &= \left[H_y^2 - \frac{1}{2} (H_x^2 + H_y^2) \right] \frac{\mu}{4\pi} \end{aligned} \quad (1.5)$$

где $H_x = h_x, H_y = H_0 + h_y, h_x, h_y$ малы. Линеаризация дает

$$T_{12} = H_0 h_x - \frac{\mu}{4\pi}, \quad T_{22} = \left[\frac{1}{2} H_0^2 + H_0 h_y \right] \frac{\mu}{4\pi} \quad (1.6)$$

причем T_{22}, T_{12} относятся к упругой среде, а T_{22}^*, T_{12}^* —к диэлектрику, занимающему верхнее полупространство. Окончательно, обозначая через h_x, h_y компоненты индуцированного магнитного поля в верхней среде, можно найти при $y = 0$

$$\begin{aligned} h_y &= h_{y0}, \quad \lambda \left(\frac{\partial u}{\partial x} + \frac{\partial v}{\partial y} \right) + 2G \frac{\partial v}{\partial y} = -P_1(x, t) \\ G \left(\frac{\partial u}{\partial y} + \frac{\partial v}{\partial x} \right) + \frac{\mu}{4\pi} (H_0 h_x - H_0 h_{x0}) &= 0 \end{aligned} \quad (1.7)$$

Для верхней среды имеют место уравнения Максвелла для диэлектрика [7]

$$h_{x0} = \frac{\partial \varphi}{\partial x}, \quad h_{y0} = \frac{\partial \varphi}{\partial y}, \quad \frac{\partial^2 \varphi}{\partial x^2} + \frac{\partial^2 \varphi}{\partial y^2} = 0 \quad (1.8)$$

Из (1.1), (1.2) можно найти уравнения упругой среды

$$\frac{\partial h_x}{\partial t} = H_0 \frac{\partial^2 u}{\partial y \partial t}, \quad \frac{\partial h_y}{\partial t} = -H_0 \frac{\partial^2 u}{\partial x \partial t}$$

$$\begin{aligned} \frac{\partial^2 u}{\partial t^2} &= G \left(\frac{\partial^2 u}{\partial x^2} + \frac{\partial^2 u}{\partial y^2} \right) + (\lambda + G) \frac{\partial}{\partial x} \left(\frac{\partial u}{\partial x} + \frac{\partial v}{\partial y} \right) - \\ &\quad - \frac{\mu}{4\pi} H_0 \left(\frac{\partial h_y}{\partial x} - \frac{\partial h_x}{\partial y} \right) \\ \frac{\partial^2 v}{\partial t^2} &= G \left(\frac{\partial^2 v}{\partial x^2} + \frac{\partial^2 v}{\partial y^2} \right) + (\lambda + G) \frac{\partial}{\partial y} \left(\frac{\partial u}{\partial x} + \frac{\partial v}{\partial y} \right) \end{aligned} \quad (1.9)$$

Таким образом, имеем, с одной стороны, уравнения (1.8) для верхнего полупространства $y > 0$, а с другой стороны, уравнения (1.9) для нижнего полупространства $y < 0$, решения которых удовлетворяют нулевым начальным условиям и граничным условиям (1.7) при $y = 0$.

Решение ищется методом Смирнова-Соболева.

Для произвольной функции $P_1(x, t)$ можно записать

$$P_1(x, t) = \int_{-\infty}^x \int_0^t P_1(x_1, t_1) \delta(x - x_1) \delta(t - t_1) dx_1 dt_1 \quad (1.10)$$

поэтому вначале возьмем в граничном условии $P_1(x, t) = \delta(x) \delta(t)$. Обозначим

$$\frac{\partial u}{\partial x} = v_1, \quad \frac{\partial u}{\partial y} = v_2, \quad \frac{\partial u}{\partial t} = v_3, \quad \frac{\partial v}{\partial x} = v_4, \quad \frac{\partial v}{\partial y} = v_5, \quad \frac{\partial v}{\partial t} = v_6 \quad (1.11)$$

Тогда из (1.9) получим

$$\begin{aligned} \frac{\partial v_3}{\partial t} &= (a^2 + a_1^2) \frac{\partial v_1}{\partial x} + (b^2 + a_1^2) \frac{\partial v_2}{\partial y} + (a^2 - b^2) \frac{\partial v_5}{\partial x} \\ \frac{\partial v_6}{\partial t} &= b^2 \frac{\partial v_4}{\partial x} + a^2 \frac{\partial v_5}{\partial y} + (a^2 - b^2) \frac{\partial v_1}{\partial y} \end{aligned} \quad (1.12)$$

где $a^2 = \frac{\lambda + 2G}{\rho}$, $b^2 = \frac{G}{\rho}$, $a_1^2 = \frac{\mu H_0^2}{4\pi\rho}$

Для верхней среды имеются уравнения (1.8). Введем новые функции φ_i , представляющие однородные функции [9] от $\frac{x}{t}$, $\frac{y}{t}$ в виде

$$v_i = \frac{\partial^2 \varphi_i}{\partial x \partial t} \quad (i=1, 2, 3, \dots, 6) \quad (1.13)$$

Функции φ_i также удовлетворяют уравнениям (1.12). Уравнения (1.8) записываются в виде $h_{x_1} = H_0 \frac{\partial^2 P_1}{\partial x \partial t}$, $h_{y_1} = H_0 \frac{\partial^2 P_2}{\partial x \partial t}$

$$\frac{\partial P_1}{\partial x} + \frac{\partial P_2}{\partial y} = 0, \quad \frac{\partial P_1}{\partial y} - \frac{\partial P_2}{\partial x} = 0 \quad (1.14)$$

Тогда граничные условия (1.7) запишутся в виде

$$\begin{aligned} -\varphi_1 &= P_2, \quad (a^2 - 2b^2) \frac{\partial^2 \varphi_1}{\partial x \partial t} + a^2 \frac{\partial^2 \varphi_5}{\partial x \partial t} = -\frac{1}{\rho} \delta(x) \delta(t) \\ (b^2 + a_1^2) \frac{\partial^2 \varphi_2}{\partial x \partial t} + b^2 \frac{\partial^2 \varphi_4}{\partial x \partial t} &= a_1^2 \frac{\partial^2 P_1}{\partial x \partial t} \end{aligned} \quad (1.15)$$

Интегрируя, получим

$$\begin{aligned} (a^2 - 2b^2) \varphi_1 + a^2 \varphi_5 &= -\frac{1}{\rho} \varepsilon(x) \varepsilon(t) \\ (b^2 + a_1^2) \varphi_2 + b^2 \varphi_4 - a_1^2 P_1 &= 0 \\ -\varphi_1 &= P_2 \end{aligned} \quad (1.16)$$

Функции φ_i ищутся методом Смирнова-Соболева в виде

$$\varphi_i = \operatorname{Re} \Phi_i(z) \quad (i = 1, 2, 3, \dots, 6)$$

где комплексная переменная z находится как функция от $\frac{t}{x}$, $\frac{t}{y}$ по формуле

$$az + \beta(z)y = t \quad (1.17)$$

Подставляя φ_i в уравнения (1.12), которым удовлетворяют также функции φ_i , отбрасывая знак Re , получим соотношения

$$\begin{aligned} \Phi'_1(z) &= -\frac{1 - z^2 b^2 - a^2 \beta^2}{\beta(a^2 - b^2)} \Phi'_6(z), \quad \Phi'_2(z) = -\frac{1 - z^2 b^2 - a^2 \beta^2}{z(a^2 - b^2)} \Phi'_6(z) \\ \Phi'_3(z) &= \frac{1 - z^2 b^2 - a^2 \beta^2}{z^2(a^2 - b^2)} \Phi'_6(z), \quad \Phi'_4(z) = -z \Phi'_6(z), \quad \Phi'_5(z) = -\beta \Phi'_6(z) \end{aligned} \quad (1.18)$$

причем условие разрешимости системы уравнений для $\Phi'_i(z)$ дает дисперсионное уравнение $\beta = \beta(z)$

$$(1 - z^2 b^2 - a^2 \beta^2)(1 - z^2(a^2 + a_1^2) - \beta^2(a_1^2 + b^2)) = a^2 \beta^2 (a^2 - b^2)^2 \quad (1.19)$$

По (1.18) все $\Phi_i(z)$ определяются через $\Phi'_6(z)$.

Подставляя значение $\beta_{1,2}(z)$ в (1.17), получим значение $z_{1,2}$, и решение запишется в виде

$$\varphi_i = \operatorname{Re} \Phi_i^{(1)}(z_1) + \operatorname{Re} \Phi_i^{(2)}(z_2) \quad (1.20)$$

где $(\Phi_i^{(1)})'$ и $(\Phi_i^{(2)})'$ определяются через $(\Phi'_6)^{(1)}$ и $(\Phi'_6)^{(2)}$ по формулам (1.18). Функции P_1 и P_2 ищутся в виде

$$P_1 = \operatorname{Re} F_1(\gamma), \quad P_2 = \operatorname{Re} F_2(\gamma) \quad (1.21)$$

где γ определяется по формуле

$$\gamma(x + iy) = t \quad (1.21')$$

Подставляя (1.21) в (1.14) и отбрасывая знак Re , получим

$$F_2' = iF_1' \quad (1.22)$$

При $y=0$ по формулам (1.17) и (1.21') получается

$$z = \gamma = \frac{t}{x}$$

причем z —действительное.

Для действительного z $\ln z = \ln |z| + i\pi [1 - \sigma(z)]$, то есть $\sigma(z) = 1 - \operatorname{Re} \frac{1}{i\pi} \ln z$.

Так как при $t > 0$ $\sigma\left(\frac{t}{x}\right) = \sigma(x) \sigma(t)$, то по условию (1.16) можно получить, отбрасывая знак Re ,

$$\begin{aligned} (a^2 - 2b^2)[(\Phi_1^{(1)})' + (\Phi_1^{(2)})'] + a^2[(\Phi_5^{(1)})' + (\Phi_5^{(2)})'] &= \frac{1}{\rho} \frac{1}{x\pi i} \\ (b^2 + a_1^2)[(\Phi_2^{(1)})' + (\Phi_2^{(2)})'] + b^2[(\Phi_4^{(1)})' + (\Phi_4^{(2)})'] &= a_1^2 F_1' \\ (\Phi_1^{(1)})' + (\Phi_1^{(2)})' &= -F_2' \end{aligned} \quad (1.23)$$

То же значение постоянной $-\frac{1}{\rho\pi i}$ в правой части первого уравнения (1.23) получится переходом к волновому уравнению, что можно сделать, так как при $y=0$, $z = \frac{t}{x}$ не зависит от вида $\beta(z)$.

По (1.23) можно получить $(\Phi_6^{(1)})'$, $(\Phi_6^{(2)})'$, F_1' и F_2' , $(F_1' = -iF_2')$ и, следовательно, F_1 , P_1 и φ_1 .

Зная φ_1 , по (1.13) можно найти v_i .

Для примера определим v_6 в виде $v_6 = \frac{\partial^2 \varphi_6}{\partial x \partial t} = \operatorname{Re} \frac{\partial^2 \Phi_6}{\partial x \partial t}$ или

$$v_6 = \operatorname{Re} \left\{ -\frac{(\Phi_6^{(1)'}(z_1) z_1)' }{[x + \beta_1'(z_1) y]^2} + \frac{z_1 \beta_1'' y}{[x + \beta_1'(z_1) y]^3} \Phi_6^{(1)'}(z_1) - \right. \\ \left. - \frac{(\Phi_6^{(2)'}(z_2) z_2)' }{[x + \beta_2'(z_2) y]^2} + \frac{z_2 \beta_2'' y}{[x + \beta_2'(z_2) y]^3} \Phi_6^{(2)'}(z_2) \right\} \quad (1.24)$$

Мы получили v_i для сосредоточенной силы. Решение для распределенной силы получается путем замены переменных x через $x - x_1$ и t через $t - t_1$, умножения решения на P_1 и интегрирования, то есть в виде

$$v_6 = \operatorname{Re} \int_0^\infty \int_{-\infty}^\infty P_1(x_1, t_1) \left\{ -\frac{(\Phi_6^{(1)'}(z_1) z_1)' }{[x - x_1 + \beta_1'(z_1) y]^2} + \frac{z_1 \beta_1'' y}{[x - x_1 + \beta_1'(z_1) y]^3} \Phi_6^{(1)'}(z_1) - \right.$$

$$\left. \frac{(\Phi_6^{(2)})'(z_2) z_2'}{[x - x_1 + \beta_2'(z_2)y]^2} + \frac{z_2 \beta_2' y}{[x - x_1 + \beta_2'(z_2)y]^3} \Phi_6^{(2)'}(z_2) \right\} dx_1 dt_1 \quad (1.25)$$

где $z_{1,2}$ можно определить по формуле

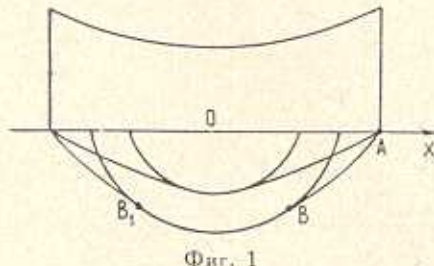
$$z_{1,2}(x - x_1) + \beta_{1,2}(z_{1,2})y = t - t_1 \quad (1.26)$$

Точечная волна BB_1 , фиг. 1, является огибающей плоских волн, уравнение которых дается (1.17), где $\alpha = \text{const}$ (α, β — действительные). Тогда точечная волна будет огибающей (1.17) по x

$$\alpha x + \beta(z)y = t \quad x + \beta(z)y = 0 \quad (1.27)$$

Для определенности исследуем решение около быстрых волн, которое соответствует меньшему значению β , $\beta = \beta_2$, в (1.27).

Отметим, что, когда точка (x, y) находится вблизи волны BB_1 (фиг. 1), согласно (1.27) кривая L (фиг. 2), даваемая (1.26), находится вблизи точки $(0, 0)$.



Фиг. 1

Поэтому нужно в (1.25) удерживать члены с наибольшей особенностью, причем вблизи быстрой волны существенен лишь четвертый член в правой части (1.25)

$$v_0 = \operatorname{Re} \int \int_{(D)} P_1(x_1, t_1) \Phi_6^{(2)'}(z_2) \frac{z_2 \beta_2' y}{[x - x_1 + \beta_2'(z_2)y]^3} dx_1 dt_1 \quad (1.28)$$

Отметим, что вблизи волны

$$\frac{\partial}{\partial y} \frac{1}{x - x_1 + \beta_2'(z_2)y} = \frac{y \beta_2' \beta_2''}{[x - x_1 + \beta_2'(z_2)y]^3}$$

и (1.28) примет вид

$$v_0 \approx \operatorname{Re} \Phi_6^{(2)'}(z_2) \frac{z_2}{\beta_2} \frac{\partial}{\partial y} \int \int_{(D)} P_1(x_1, t_1) \frac{dx_1 dt_1}{x - x_1 + \beta_2'(z_2)y} \quad (1.29)$$

Определим значение z_0 по формуле

$$x - x_1 + \beta_2'(z_0)y = 0 \quad (1.30)$$

Так как $\arg z > 0$, то для малых $z_2 - z_0$ по (1.26) получим

$$x_2 - z_0 = i \sqrt{\frac{2|t-t_1-\alpha_0(x-x_1)-\beta_2(z_0)y|}{-\beta_2^*(z_0)y}} \quad (1.31)$$

Разлагая в (1.29)

$$x - x_1 + \beta_2(z_2)y = -i \sqrt{-2\beta_2^*(z_0)y} \sqrt{t - t_1 - z_0(x - x_1) - \beta_2(z_0)y}$$

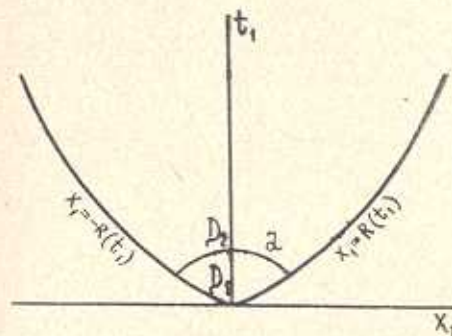
получим

$$\begin{aligned} v_0 = \operatorname{Re} \Phi_0^{(2)*} i \frac{\alpha_0}{\beta_2} \frac{1}{\sqrt{-2\beta_2^*(z_0)y}} \times \\ \times \frac{\partial}{\partial y} \iint_{D_1} P_1(x_1, t_1) \frac{dx_1 dt_1}{\sqrt{t - t_1 - z_0(x - x_1) + \beta_2(z_0)y}} \end{aligned} \quad (1.32)$$

Положим, что на поверхности профиль давления

$$P_1(x_1, t_1) = P(t_1) f\left[\left|\frac{x_1}{R(x_1)}\right|\right], \quad f(1) = 1$$

и, кроме того, для малых t_1 $P(t_1) = At_1$, а $R(t_1) \approx Vt_1$, $V = \text{const}$, $V > c_{1,2}$, где $c_{1,2} = \frac{1}{\sqrt{\alpha^2 + \beta_{1,2}^2}}$ — скорости медленных и быстрых волн ($V > c_2$).



Фиг. 2

§2. Обозначим $\Phi_0^{(2)*} i \frac{\alpha_0}{\beta_2} \frac{1}{\sqrt{-2\beta_2^*(z_0)y}} = a + bi$, тогда получим из (1.32) $v_0 = \operatorname{Re}(a + bi)f$, где

$$f = \frac{\partial}{\partial y} \iint \frac{P_1(x_1, t_1) dx_1 dt_1}{\sqrt{t - t_1 - z_0(x - x_1) + \beta_2(z_0)y}} \quad (2.1)$$

Вычислим часть v_0 , соответствующую a . Тогда в (2.1) для того, чтобы получить действительную часть с множителем a , следует взять область интегрирования D_1 (фиг. 2) для $\varphi \geq 0$, где

$$\varphi = t - t_1 - z_0(x - x_1) - \beta_2(z_0)y$$

причем $\varphi = 0$ дает линию L (фиг. 2).

Границочное условие берется в виде, характеризующем окрестность волновых фронтов

$$P_1(x_1, t_1) = A t_1^{\alpha} [t_1 - f(|x_1|)]^{\beta} F\left(\frac{|x_1|}{R(t_1)}\right)$$

Здесь $t_1 = f(|x_1|)$ — функция, обратная к $|x_1| = R(t_1)$.

Уравнение линии L (фиг. 2) будет

$$t_1 = t - \tau_0(x - x_1) - \beta(\tau_0)y, \quad x - x_1 + \beta'(\tau_0)y = 0$$

Используя уравнение точечной волны

$$t = t_{\text{дифр.}}, \quad t_{\text{дифр.}} = \alpha x + \beta(z)y, \quad x + \beta'(z)y = 0 \quad (2.2)$$

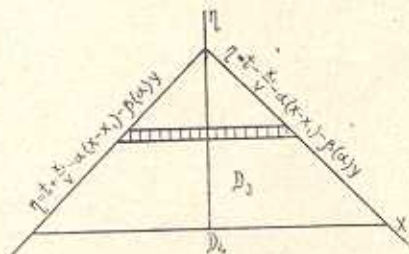
можно получить

$$t - t_1 - \tau_0(x - x_1) - \beta(\tau_0)y = t - t_1 - z(x - x_1) - \beta(z)y \quad (2.3)$$

Введем новую переменную интегрирования

$$\eta = t - t_1 - z(x - x_1) - \beta(z)y \quad (2.4)$$

Область интегрирования D_3 в переменных (η, x_1) дается на фиг. 3.



Фиг. 3

Вблизи волны (2.2) имеет место $x_1 \approx 0, t_1 \approx 0$ (фиг. 2), поэтому $R(t_1) \approx Vt_1, V = R'(0)$, причем поскольку $f'(|x_1|) = \frac{1}{R'(t)}$ можно в граничном условии полагать

$$f(|x_1|) = \frac{|x_1|}{V}$$

Тогда (2.1) примет вид

$$\frac{J}{A} = \frac{\partial}{\partial y} \int_0^{\frac{\tau - \eta}{\frac{1}{V} - z}} \frac{d\eta}{V \eta} - \int_{-\frac{\tau - \eta}{\frac{1}{V} + \beta}}^{\frac{\tau - \eta}{\frac{1}{V} - z}} t_1^{\alpha} \left(t_1 - \frac{|x_1|}{V} \right)^{\beta} F\left(\frac{|x_1|}{Vt_1}\right) dx_1 \quad (2.5)$$

причем $t_1 = \tau + zx_1 - \eta, z = t - ax - \beta(z)y$

Обозначим $\frac{x_1}{Vt_1} = \zeta$, тогда $x_1 = \zeta \frac{\tau - \eta}{1 - \alpha \zeta}$ и из (1.5), имеем

$$\frac{J}{A} = VT \frac{\partial}{\partial y} \int_0^{\tau} (\tau - \eta)^{\mu + \lambda + 1} \frac{d\eta}{V - \eta} \quad (2.6)$$

где

$$T = \int_0^1 \frac{(1 - \zeta)^\lambda}{(1 - \alpha V \zeta)^{\lambda + \mu + 2}} F(\zeta) d\zeta + \int_{-1}^0 \frac{(1 + \zeta)^\lambda F(-\zeta) d\zeta}{(1 - \alpha V \zeta)^{\lambda + \mu + 2}} \quad (2.7)$$

Вычисление интеграла (2.6) с учетом равенства $\frac{\partial z}{\partial y} = -\beta$ даст

$$J = -VAT(\mu + \lambda + 1) \beta \cdot \frac{\mu + \lambda + \frac{1}{2}}{2} B\left(1 + \mu + \lambda, \frac{1}{2}\right) \quad (2.8)$$

Найдем значение T из (2.7) вблизи точки B (фиг. 1), где $\tau = \frac{1}{V}$.

Полагая $\tau = 1 - \alpha V$ и учитывая, что для малых τ в (2.7) для выделения особой части решения следует оставить только первое слагаемое и интегрировать в окрестности $\zeta = 1$, то есть полагать $\zeta \approx \tau$, после замены $1 - \zeta = \tau y_1$, где y_1 — новая переменная интегрирования, можно найти

$$T = (1 - \alpha V)^{-\mu-1} B(\lambda + 1, \mu + 1) \quad (2.9)$$

Для отделения действительной части решения в слагаемом bif из v_0 следует брать значения $\varphi \leq 0$, то есть область D_+ (фиг. 2). Тогда слагаемое bif в выражении для v_0 примет вид

$$bif = Ab \frac{\partial}{\partial y} \int_{D_+} \frac{[t_1 - f(|x_1|)]^{\lambda} t_1^{\mu} F\left(\frac{|x|}{R(t_1)}\right) dx_1 dt_1}{\sqrt{V - \eta}}$$

где значение η дано (2.4).

Обозначим

$$I = \frac{iJ}{A}$$

В плоскости (η, x_1) (фиг. 3) область интегрирования будет ниже оси x_1 , и значение интеграла запишется в виде

$$I = \frac{\partial}{\partial y} \int_{-\infty}^0 \frac{\partial \eta}{\sqrt{V - \eta}} \int_{x_1}^{x_1'} t_1^{\mu} \left(t_1 - \frac{|x_1|}{V} \right)^{\lambda} F\left(\frac{|x_1|}{Vt_1}\right) dx_1 \quad (2.10)$$

где x_1 и \tilde{x}_1 —образы линий $|x_1| = R(t_1)$,

$$x_1 = \frac{\tau - \eta}{\frac{1}{V} - z}, \quad \tilde{x}_1 = -\frac{\tau - \eta}{\frac{1}{V} + z}$$

Вводя переменную

$$\frac{x_1}{Vt_1} = \zeta, \quad x_1 = \zeta \frac{\tau - \eta}{\frac{1}{V} - z\zeta}$$

причем

$$t_1 = (\tau - \eta) \frac{1}{1 - zV\zeta}$$

можно получить из (2.10)

$$I = V \frac{\partial}{\partial y} \int_{-\infty}^0 \frac{d\tau}{V - \eta} (\tau - \eta)^{p+k-1} \int_{-1}^1 \left(\frac{1}{1 - zV\zeta} \right)^{p+k+2} (1 - |\zeta|)^k F(\zeta) d\zeta = \\ = -TV \int_{-\infty}^0 (p+k+1)(\tau - \eta)^{p+k-1} \frac{d\tau}{V - \eta}$$

где T дается (2.7).

Обозначим $-\eta = zX$, тогда получим

$$I = V(1 - zV)^{-p-1} \int_{-\infty}^0 \frac{(p+k+1) \Gamma(p+k) \Gamma(-p-k-\frac{1}{2})}{V - \eta} \times \\ \times \sin \pi(p+k) \quad (2.11)$$

Решение вблизи точечной волны согласно (1.32), (2.1) и (2.11) дается в виде $v_0 = aJ + bAI$, где J определяется из (2.8), а I —из (2.11). Мы видим, что учет комплексного значения амплитуды ($b \neq 0$) не меняет характера особенности решения точечной волны.

§ 3. Определение решения вблизи AB .

Для отделения действительной части решения в слагаемом aJ в формуле для v_0 следует выбрать область интегрирования D над кривой $L(\varphi \geq 0)$, для слагаемого bJ из v_0 —над кривой $L(\varphi < 0)$. Сначала вычисляем слагаемое, соответствующее действительной части a . Когда точка $M(x, y)$ принадлежит AB (фиг. 1), область интегрирования D_1 (фиг. 4) стягивается к точке $x_1 = R(t_0)$, $t_1 = t_0$, что следует из уравнения линии $L \tau = 0$ и уравнения AB

$$t_0 - t_1 = \alpha_1 [x - R(t_0)] + \beta(\alpha_1) y, \quad x - R(t_0) + \beta'(\alpha_1) y = 0$$

$$\alpha_1 = \frac{1}{R'(t_0)} \quad (3.1)$$

Вводя малые переменные интегрирования (3.1) $t_1 - t_0 = \bar{t}$, $x_1 - R(t_0) = \bar{x}$, с учетом соотношения $x - R(t_0) + \beta'(x_1)y = 0$ можно представить равенство $x - x_1 + \beta'(x_0)y = 0$ или $R(t_0) - \beta'(x_1)y - R(t_0) - \bar{x} + \beta'(x_0)y = 0$ в виде ряда по $x_0 - x_1$

$$\bar{x} \approx \beta''(x_1)y(x_0 - x_1) \quad (3.2)$$

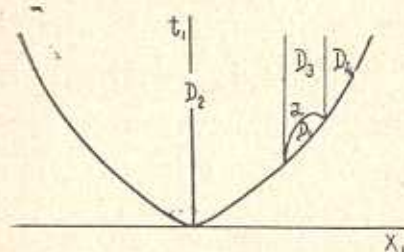
Вводя переменную интегрирования $\zeta = t_1 - f(x_1)$, можно разложить вокруг точки $t_1 = t_0$ функцию $f(x_1)$ в виде $f(x_1) = t_0 + \frac{\bar{x}}{V_1} - \frac{R''(t_0)}{2V_1^3}\bar{x}^2$, откуда можно получить

$$\zeta = \bar{t} - \frac{\bar{x}}{V_1} + \frac{R''(t_0)}{2V_1^3}\bar{x}^2 \quad (3.3)$$

и записать для $\varphi = t - t_0 - x_0(x - x_1) - \beta(x_0)y$ в (2.1)

$$\begin{aligned} \varphi = t - t_0 - \bar{t} + x_1\bar{x} - [x - R(t_0) - \bar{x}](x_0 - x_1) - \beta'(x_1)y(x_0 - x_1) - \\ - \frac{1}{2}\beta''(x_1)y(x_0 - x_1)^2 \end{aligned}$$

Здесь использовано, что t_Φ находится из (3.1), записанного до второго порядка, причем $x_1 = \frac{1}{V_1}$, $R'(t_0) = V_1$. Теперь из (3.3) получится



Фиг. 4

$$\varphi = t - t_\Phi - \zeta + \frac{R''(t_0)}{2V_1^3}\bar{x}^2 - (x - \bar{x})(x_0 - x_1) - \frac{1}{2}\beta''(x_1)y(x_0 - x_1)^2$$

причем согласно (3.1)

$$x - R(t_0) + \beta'(x_1)y = 0$$

Подставляя сюда $x_0 - x_1$ из (3.2), можно получить

$$r = 1 + \frac{\beta'yR''(t_0)}{V_1^3}, \quad \varphi = t - t_\Phi + \frac{r}{2\beta''y}\bar{x}^2 - \zeta$$

Пределы интегрирования в (2.1) по ζ будут $0 < \zeta < \zeta_0$, где ζ_0 обращает в нуль φ , $\zeta_0 = t - t_\Phi + \frac{r}{2\beta''y}\bar{x}^2$ (на линии L), а пределы по \bar{x} будут $\bar{x} = r_{1,2}^*$, которые обращают в нуль ζ_0 , $r_{1,2}^* = \pm \sqrt{t - t_\Phi} \sqrt{-\frac{2\beta''y}{r}}$.

Границное условие дается в § 2, где $P_1(x_1, t_1) = At_0^{\frac{1}{2}}[t_1 - f(x_1)]^{\frac{1}{2}}$, так как $|x_1| = R(t_1)$, $F\left(\frac{|x_1|}{R(t)}\right) = 1$.

Тогда (2.1) вблизи AB примет вид

$$J = At_0^{\frac{1}{2}} \frac{\partial}{\partial y} \int_{r_2}^{r_1} d\bar{x} \int_0^{\zeta_0} \frac{\zeta^{\frac{1}{2}} d\zeta}{\sqrt{V^{\frac{1}{2}}}} \quad (3.4)$$

Вводя переменную интегрирования $\eta = \frac{\zeta}{t - t_\Phi + \frac{r}{2\beta''y}\bar{x}^2}$, внутренний интеграл можно найти в виде

$$\left(t - t_\Phi + \frac{r}{2\beta''y} \bar{x}^2 \right)^{\lambda+1} B\left(\lambda+1, \frac{1}{2}\right)$$

Далее, вводя в (3.4) вместо \bar{x} переменную $\xi = \frac{\bar{x}}{\sqrt{t - t_\Phi}}$, можно получить

$$J = -At_0^{\frac{1}{2}} \pi \left(-\frac{2\beta''y}{r} \right)^{\frac{1}{2}} (t - t_\Phi)^{\lambda} \quad (3.5)$$

Для слагаемого в (2.1), содержащего коэффициент bi , действительное значение решения дается значениями $\varphi \leq 0$, то есть областями D_2, D_3, D_4 (фиг. 4).

Тогда слагаемое в v_n вблизи волны AB , которое соответствует коэффициенту bi , имеет вид $biJ = t_0^{\frac{1}{2}} b A I$,

$$I = \frac{\partial}{\partial y} \int_{r_2}^{r_1} d\bar{x} \int_{-\zeta_0}^{\zeta_0} \frac{\zeta^{\frac{1}{2}} d\zeta}{\sqrt{V\zeta - \zeta_0}} + \frac{\partial}{\partial y} \int_{r_1}^{\infty} d\bar{x} \int_0^{\zeta_0} \frac{\zeta^{\frac{1}{2}} d\zeta}{\sqrt{V\zeta - \zeta_0}} + \\ + \frac{\partial}{\partial y} \int_{-\infty}^{-r_2} d\bar{x} \int_0^{\zeta_0} \frac{\zeta^{\frac{1}{2}} d\zeta}{\sqrt{V\zeta - \zeta_0}} \quad (3.6)$$

где

$$r_{1,2}^* = \pm \sqrt{t - t_\Phi} \sqrt{-\frac{2\beta''y}{r}}, \quad \zeta_0 = t - t_\Phi + \bar{x}^2 \frac{r}{2\beta''y}$$

В первом слагаемом в правой части, где интегралы берутся по области D_3 (фиг. 4), имеет место $\zeta_0 > 0$, а во втором и третьем слагаемых, взятых по областям D_2 и D_4 , $\zeta_0 < 0$.

Заметим, что третье слагаемое в правой части равно второму слагаемому, откуда

$$I = \frac{\partial}{\partial y} \int_{r_2}^{r_1} d\bar{x} \int_{-\infty}^{\infty} \frac{\zeta' d\zeta}{V(\zeta - \zeta_0)} + 2 \frac{\partial}{\partial y} \int_{r_1}^{\zeta_0} d\bar{x} \int_0^{\infty} \frac{\zeta' d\zeta}{V(\zeta - \zeta_0)} = I_1 + 2I_2$$

Введем в I_1 новую переменную интегрирования $\eta = \frac{\zeta}{\zeta_0}$, тогда получится

$$I_1 = \frac{\partial}{\partial y} \int_{r_2}^{r_1} d\bar{x} \int_{\eta=1}^{\lambda+\frac{1}{2}} \frac{\eta^\lambda d\eta}{V(\eta-1)} = -2B \left(-\lambda - \frac{1}{2}, \frac{1}{2} \right) \frac{\partial t_\Phi}{\partial y} \left(\lambda + \frac{1}{2} \right) \times \\ \times \left(-\frac{r}{2\beta''y} \right)^{\lambda-\frac{1}{2}} \int_0^{r_1} (r_1^2 - \bar{x}^2)^{\lambda-\frac{1}{2}} d\bar{x}$$

или

$$I_1 = \frac{\Gamma(-\lambda - \frac{1}{2}) \Gamma(\frac{1}{2})}{\Gamma(-\lambda)} \beta\left(\lambda + \frac{1}{2}\right) \frac{\Gamma(\lambda + \frac{1}{2}) \Gamma(\frac{1}{2})}{\Gamma(\lambda + 1)} \times \\ \times \left(-\frac{2\beta''y}{r} \right)^{\frac{1}{2}} (t - t_\Phi) \quad (3.7)$$

Для вычисления I_2 , где $\zeta_0 < 0$, обозначим $\nu = -\frac{\zeta}{\zeta_0}$, тогда получим

$$I_2 = B \frac{\partial}{\partial y} \int_{r_1}^{\zeta_0} d\bar{x} (-\zeta_0)^{\lambda+\frac{1}{2}}$$

где

$$B = \int_0^{\infty} \frac{\eta^\lambda d\eta}{V(\eta+1)}$$

или

$$I_2 = B \left(\lambda + \frac{1}{2} \right) \beta \left(-\frac{r}{2\beta''y} \right)^{\lambda-\frac{1}{2}} \int_{r_1}^{\infty} (\bar{x}^2 - r_1^2)^{\lambda-\frac{1}{2}} d\bar{x} \quad (3.8)$$

Обозначая $\bar{x} = r_1 \xi$, подставляя I_1 и I_2 в (3.6), напишем решение (3.6), соответствующее bi , в виде

$$I = -\frac{\pi \sin \pi \lambda}{\sin \pi \left(\lambda + \frac{1}{2}\right)} \Re \left(\lambda + \frac{1}{2} \right) \left(-\frac{2\beta'' y}{r} \right)^{\frac{1}{2}} (t - t_\Phi) + \\ + \frac{\pi}{\sin \pi \lambda \cos \pi \lambda} \Re \left(-\frac{2\beta'' y}{r} \right)^{\frac{1}{2}} (t - t_\Phi) \quad (3.9)$$

и общее решение будет

$$v_0 = af + bAt_0^2 I \quad (3.10)$$

где I определяется из (3.9), f — из (3.5).

Все приведенные здесь интегралы понимаются в смысле главного значения, то есть вычисляются для тех λ , для которых они сходятся, а для остальных значений λ , значения этих интегралов считаются равными вычисленным, что составляет содержание метода аналитического продолжения по параметру [10]. Другими словами всюду берется конечная часть интегралов.

Вычислим выражение (3.6) для целых λ , а точнее для $\lambda=0$. Тогда I_1 получится равным нулю, а значение I_2 найдется в виде (где принимается главное значение интегралов)

$$I_2 = \frac{\partial}{\partial y} \int_{r_1}^{\infty} d\bar{x} \int_0^{\infty} \frac{d\bar{z}}{1 - \bar{z} - \bar{z}_0} = -\Re \int_{r_1}^{\infty} d\bar{x} (-\bar{z}_0)^{-\frac{1}{2}} = \\ = -\Re \sqrt{-\frac{2\beta'' y}{r}} \int_{r_1}^{\infty} (\bar{x}^2 - r_1^2)^{-\frac{1}{2}} d\bar{x} = \\ = \Re \sqrt{-\frac{2\beta'' y}{r}} \cdot \frac{1}{2} (\ln |t - t_\Phi| + \dots) \quad (3.11)$$

причем $I = 2I_2$ и оставлено слагаемое с наибольшей особенностью.

Таким образом, согласно (3.10), (3.5), (3.11) решение в случае $\lambda=0$ имеет вид

$$v_0 = -A\pi \Re \left(-\frac{2\beta'' y}{r} \right)^{\frac{1}{2}} t_0^2 \{ a[\Re(t - t_\Phi)] + b \ln |t - t_\Phi| + \dots \} \quad (3.12)$$

Интересно, что за счет непроводящей среды в верхнем полупространстве, в котором скорость возмущений бесконечна, среда в нижнем полупространстве впереди фронта волны ABB_1 (фиг. 3) будет возмущена, что аналитически выражается в наличии в (2.1) комплексной амплитуды $a+bi$, причем при $b \neq 0$ в (3.12) решение впереди волны AB , где $t < t_\Phi$, не равно нулю, а на самой волне AB имеется логарифмическая особенность решения, что для задачи о полном внутреннем отражении в газовой динамике показано в [11].

Тем не менее характер поведения решения вблизи AB при $\lambda \neq 0$, а также решения вблизи BB_1 (фиг. 3) для $b \neq 0$ будет таким же, как для $b = 0$, что видно из (3.9) и (2.12), отличие будет только в коэффициенте.

§ 4. Рассмотрим решение вблизи точки B .

Можно показать, что поскольку вблизи точки B $F \approx 1$, решение вблизи B имеет вид

$$v_0 = aJ + bAI, \quad J = -\frac{\beta}{V^k} \int \int_{D_1} \frac{\lambda \zeta^{k-1} x_1^k dx_1 d\zeta}{V^{\frac{k+1}{2}}}$$

$$I = -\frac{\beta}{V^k} \int \int_{D_2} \frac{\lambda \zeta^{k-1} x_1^k dx_1 d\zeta}{V^{\frac{k+1}{2}}}$$

Области D_1 и D_2 указаны на фиг. 2 и 4. Вычисление J проводится подобно [12] и вблизи B получается

$$J = -\frac{\beta}{V^k} (t - t_0)^{\frac{\lambda+k}{2}} \left(-\frac{2\beta''y}{r} \right)^{\frac{\lambda+1}{2}} (1-\omega)^{\frac{\lambda+p-\frac{1}{2}}{2}} 2^{-\frac{1}{2}} \times \\ \times \frac{\Gamma(\lambda+1)\Gamma(p+1)}{\Gamma\left(\lambda+p+\frac{3}{2}\right)} V^{\frac{p}{2}} F\left(\frac{1}{2}-\lambda, \lambda+\frac{1}{2}, \lambda+p+\frac{3}{2}, \frac{1-\omega}{2}\right) \quad (4.1)$$

позади BB_1 и

$$J = -\frac{\beta}{V^k} \pi (t - t_0) \left(\frac{x + \beta' y}{r} \right)^p \left(-\frac{2\beta''y}{r} \right)^{\frac{1}{2}} \times \\ \times F\left(-\frac{p}{2}, \frac{1-p}{2}, \lambda+1, \frac{1}{\omega^2}\right) \quad (4.2)$$

между BB_1 и AB : здесь

$$\omega = -\frac{x + \beta' y}{V(t - t_0)} \frac{1}{V - 2\beta''ry}, \quad r_1 = 1 + \beta''y \frac{R''(0)}{V^3}$$

причем всюду аргумент функции $\beta(z)$ равен $z = \frac{1}{V}$.

Для вычисления интеграла I в области позади BB_1 следует интегрировать по области D_2 (фиг. 2). Учитывая, что вблизи B можно отбросить область интегрирования, соответствующую $x_1 < 0$, можно получить

$$\frac{I}{\beta''} = \int_0^{r_0} x_1^k dx_1 \int_K^\infty \frac{\lambda \zeta^{k-1} d\zeta}{V^{\frac{k+1}{2}} - K} + \int_{r_0}^\infty x_1^k dx_1 \int_0^\infty \frac{\lambda \zeta^{k-1} d\zeta}{V^{\frac{k+1}{2}} - K} \quad (4.3)$$

где

$$K = t - t_\phi + \frac{r}{2\beta''y} \left(x_1 - \frac{x + \beta'y}{r} \right)^2$$

а пределы интегрирования по x_1 , соответствующие кривой $x_1 = R(t_1)$ (фиг. 2), находятся из равенства

$$r_{2,1} = \frac{x + \beta'y}{r} \pm \sqrt{-\frac{2\beta''y}{r}} \sqrt{t - t_\phi} \quad (4.4)$$

Обозначая в правой части уравнения (4.3) первый интеграл через $I_1 L_1$, а второй — через $I_2 L_2$, где

$$\begin{aligned} I_1 &= \int_1^2 \frac{\lambda \eta^{\lambda-1} d\eta}{V(\eta-1)} = \lambda \frac{\Gamma\left(\frac{1}{2}-\lambda\right) \Gamma\left(\frac{1}{2}\right)}{\Gamma(1-\lambda)} \\ I_2 &= \int_0^\infty \frac{\lambda \eta^{\lambda-1} d\eta}{V(\eta+1)} = \lambda \frac{\Gamma\left(\frac{1}{2}-\lambda\right) \Gamma(0)}{\Gamma\left(\frac{1}{2}\right)} \end{aligned} \quad (4.5)$$

и делая в L_1 и L_2 замены переменных

$$x_1 = \frac{x + \beta'y}{r} + \sqrt{-\frac{2\beta''y}{r}} \sqrt{t - t_\phi}, \quad 1 - \zeta = \pm (1 - \omega)y_3 \quad (4.6)$$

соответственно, приводя интегралы к гипергеометрическим функциям подобно [12], можно получить решение позади BB_1 в виде

$$I = I_1 L_1 + I_2 L_2$$

$$\begin{aligned} L_1 &= \left(-\frac{2\beta''y}{r}\right)^{\frac{\mu+1}{2}} (t - t_\phi)^{\frac{\mu}{2}+\lambda} (1-\omega)^{\lambda+\mu+\frac{3}{2}} \frac{\Gamma(\mu+1) \Gamma\left(\lambda+\frac{1}{2}\right)}{\Gamma\left(\mu+\lambda+\frac{3}{2}\right)} \times \\ &\quad \times 2^{-\frac{\lambda-\frac{1}{2}}{2}} F\left(\frac{1}{2}-\lambda, \frac{1}{2}+\lambda, \lambda+\mu+\frac{3}{2}, \frac{1-\omega}{2}\right) \\ L_2 &= \left(-\frac{2\beta''y}{r}\right)^{\frac{\mu+1}{2}} (t - t_\phi)^{\frac{\mu}{2}+\lambda} (1-\omega)^{\lambda+\mu+\frac{1}{2}} 2^{-\frac{\lambda-\frac{1}{2}}{2}} \times \\ &\quad \times \frac{\Gamma(-2\lambda-\mu) \Gamma\left(\lambda+\frac{1}{2}\right)}{\Gamma\left(-\lambda-\frac{\mu+1}{2}\right)} F\left(\frac{1}{2}-\lambda, -2\lambda-\mu, -\lambda-\mu+\frac{1}{2}, \frac{\omega+1}{2}\right) \end{aligned} \quad (4.7)$$

При $\lambda=\mu=0$, пользуясь соотношением $\lambda x_+^{\lambda-1} = \delta(x)$, можно видеть,

что первый интеграл (4.3) равен нулю, а конечное значение второго интеграла равно

$$\frac{\frac{y}{r}}{\sqrt{-\frac{r}{2\beta''y}}} \ln \left| \sqrt{-\frac{2\beta''y}{r}} V t - t_0 \right|$$

Это медленно меняющаяся функция, поэтому можно считать, что быстро меняющаяся часть решения I , соответствующая мнимой части амплитуды b позади BB_1 , равна нулю, что согласуется с формулой (2.12).

Тот же вывод получится непосредственно из (4.7), где следует выделить конечную часть решения.

Вблизи линии BB_1 , где $\omega=1$, при отходе от точки B следует из (4.7)

$$1-\omega \approx \frac{\gamma}{2(t-t_0)}, \quad \text{а} \quad t-t_0 \approx -\frac{(x+\beta'y)^2}{2\beta''ry} = -\left(x-\frac{1}{V}\right)^2 \frac{\beta''y}{2r}$$

$$I = -\frac{\sin \pi(\lambda+\mu)}{V\pi} \Gamma(1+\mu)\Gamma(1+\lambda)\Gamma(-\mu-\lambda-\frac{1}{2}) \times$$

$$\times \left(-\frac{2\beta''y}{r}\right)^{\frac{\mu+1}{2}} (t-t_0)^{\frac{\lambda+1}{2}} (1-\omega)^{\lambda+\mu+\frac{1}{2}} \frac{1}{2}$$

Это значение совпадает с (2.12), то есть решение вблизи BB_1 и около точки B асимптотически переходят друг в друга. Для определения решения между BB_1 и AB вблизи B следует в выражении для I интегрирование производить по областям D_2 , D_3 , D_4 (фиг. 4), при этом

$$-\frac{I}{\frac{\beta}{V^\lambda}} = \int_0^{\zeta_1} x_1^\alpha dx_1 \int_0^{\zeta} \frac{i\zeta^{\lambda-1} d\zeta}{V-\varphi} + \int_{\zeta_1}^{\zeta_2} x_1^\alpha dx_1 \int_K^{\zeta} \frac{i\zeta^{\lambda-1} d\zeta}{V-\varphi} +$$

$$+ \int_{\zeta_2}^{\zeta} x_1^\alpha dx_1 \int_0^{\zeta} \frac{i\zeta^{\lambda-1} d\zeta}{V-\varphi} \quad (4.8)$$

Вычисляя первый и третий интегралы подобно предыдущему, а второй интеграл так же, как в работе [12], можно получить

$$-\frac{I}{\frac{\beta}{V^\lambda}} = I_1 L_1 + I_2 L_2 + I_3 L_3$$

$$L_1 = \left(-\frac{2\beta''y}{r}\right)^{\frac{\mu+1}{2}} (t-t_0)^{\frac{1+\frac{\mu}{2}}{2}} (-\omega-1)^{\frac{\lambda+\mu+\frac{1}{2}}{2}}$$

$$\begin{aligned}
& \times 2^{\lambda-\frac{1}{2}} \frac{\Gamma\left(\lambda+\frac{1}{2}\right) \Gamma(1+\mu)}{\Gamma\left(\lambda+\mu+\frac{3}{2}\right)} F\left(\frac{1}{2}-\lambda, \lambda+\frac{1}{2}, \lambda+\mu+\frac{3}{2}, \frac{1+\omega}{2}\right) \\
L'_2 &= \left(-\frac{2\beta''y}{r}\right)^{\frac{1}{2}} (t-t_\Phi)^\lambda \left(\frac{x+\beta'y}{r}\right)^\mu \frac{\pi}{\lambda B\left(\lambda, \frac{1}{2}\right)} \times \\
& \times F\left(-\frac{\mu}{2}, \frac{1-\mu}{2}, \lambda+1, \frac{1}{\omega^2}\right) \\
L'_3 &= \left(-\frac{2\beta''y}{r}\right)^{\frac{\omega+1}{2}} (t-t_\Phi)^{\frac{\mu}{2}+\lambda} (1-\omega)^{\frac{1+2\lambda}{2}} \frac{\Gamma(-2\lambda-\mu)\Gamma\left(\lambda+\frac{1}{2}\right)}{\Gamma\left(-\lambda-\mu+\frac{1}{2}\right)} \times \\
& \times F\left(\frac{1}{2}-\lambda, -2\lambda-\mu, -\lambda-\mu+\frac{1}{2}, \frac{\omega+1}{\omega-1}\right) \quad (4.9)
\end{aligned}$$

При отходе от точки B , вблизи AB , где $\omega \approx \infty$, можно получить

$$\begin{aligned}
\frac{I}{\beta} &= I_1 L'_2 + 2 L'_1 L_2 = \\
&= \left(-\frac{2\beta''y}{r}\right)^{\frac{1}{2}} (t-t_\Phi)^\lambda \left(\frac{x+\beta'y}{r}\right)^\mu \left(\frac{\pi \sin \pi \lambda}{\cos \pi \lambda} - \frac{\pi}{\sin \pi \lambda \cos \pi \lambda}\right)
\end{aligned}$$

и с учетом $\frac{x+\beta'y}{r} = V t_0$ можно видеть, что результат совпадает с (3.9), то есть решение (4.9) при удалении от точки B переходит в решение на AB (3.9).

Полагая $\lambda=\mu=0$ в (4.9), можно получить решение между BB_1 и AB , что проще, однако, сделать непосредственно, полагая $\lambda=\mu=0$ в (4.8), где второй интеграл обратится в нуль и получится

$$\frac{I}{-\beta} = -\sqrt{-\frac{2\beta''y}{r}} \ln \frac{-\frac{2\beta''y}{r} (t-t_\Phi)}{\frac{x+\beta'y}{r} \sqrt{\left(\frac{x+\beta'y}{r}\right)^2 + \frac{2\beta''y}{r} (t-t_\Phi)}}$$

Отсюда видно, что вблизи AB решение приближенно равно

$$I = \beta \sqrt{-\frac{2\beta''y}{r}} \ln(t-t_\Phi) \left(-\frac{2\beta''y}{r}\right)$$

что согласуется с (3.11).

Вблизи BB_1

$$I = \beta \sqrt{-\frac{2\beta''y}{r}} \ln \sqrt{-\frac{2\beta''y}{r} (t - t_\phi)}$$

и согласуется с вышеуказанным значением.

Институт механики АН Армянской ССР
Кироваканский педагогический институт

Поступила 24 V 1972

Ф. З. ՀԱԽՆԻԱՆ, Ա. Գ. ԲԱԳԴՈԵՎ

ԱՌԱՋԿԱՆԱՆ ՊՄԱՏԱՐԱԾՈՒԹՅԱՆ ՇԱՐԺՈՒԹ ՄԱԳՆԵՍԱԿԱՆ ԴԱՇՏՈՒՄ
ՀԱՐԳԱԾՈՒՅԻՆ ԱԼԻՔՆԵՐԻ ԱԶԴԵՑՈՒԹՅԱՆ ՏԱՐ

Ս ա մ ֆ ո ֆ ո ւ մ

Դիտարկվում է իդեալական հաղորդիչ առաձգական նյութով լցված կիսատարածության շարժման այն խնդիրը, եթե կիսատարածությունը իր մակերեսով բաժանվում է զիկլիկարիթիկից (օդից), գտնվում է նախնական համակառությամբ մագնիսական H_0 դաշտում և նրա մակերեսութիւնը վրա հարցածային ալիքով տարածվում է փոփոխական ձևողումը:

Միրնով-Սորուկի մեթոդով լուծումը գտնված է առաձգական կիսատարածությունում ինտերգրալների տեսքով, որոնք պարզեցված են ալիքների ճակատների մասում:

Սպացված է լուծումը ալիքների ճակատների վրա, որը հաշվի է առնում զրաման երեսությունները ներքին կիսատարածությունում ճակատներից առաջ:

ELASTIC SEMISPACE MOTION DUE TO SHOCK WAVES IN A MAGNETIC FIELD

Zh. H. HAKHINIAN, A. G. BAGDOEV

S u m m a r y

The problem on motion of a semispace, filled with an ideal elastic conducting material, conterminous with a dielectric (air), in an originally homogeneous vertical magnetic field, H_0 , under the action of variable pressure, propagating over the conducting material surface, is considered.

The solution is defined by the Smirnov-Sobolev method in an elastic semispace in the form of quadratures, simplified near the wave fronts.

A solution is obtained for the wave fronts, taking account of the disturbances in the lower semispace ahead of the magnetoelastic wave fronts, developing as a result of the propagation of magnetic field disturbances in the dielectric at an infinite velocity.

Л И Т Е Р А Т У Р А

1. Kaliski S. Solution of the equation of motion in a magnetic field. Proceedings of vibration problems, № 3, 1960.
2. Багдасарян Г. Е., Даноян З. Н. Распространение упругих волн в анизотропном полупространстве при наличии магнитного поля. Изв. АН АрмССР, Механика, т. 25, № 2, 1972.
3. Рахматуллин Х. А., Саюмонян А. Я., Алексеев Н. А. Вопросы динамики грунтов, МГУ, 1964.
4. Колесний Г. Волны напряжения в твердых телах. ИЛ, М., 1969.
5. Курант Р., Фридрихс К. Сверхзвуковое течение и ударные волны. ИЛ, М., 1950.
6. Багдоев А. Г., Мовсисян А. А. К вопросу определения ударной волны в нелинейных задачах теории упругости. Изв. АН АрмССР, Механика, т. XXI, № 3, 1968.
7. Багдоев А. Г. Некоторые нелинейные задачи движения сжимаемой жидкости. Изд. АН АрмССР, Ереван, 1961.
8. Кутушев А. А., Голубева Н. С. Основы радиоэлектроники. М., 1969.
9. Свекло В. А. Смешанная задача для упругой анизотропной полуплоскости. ПММ, т. 24, к. 5, 1962.
10. Бабич В. М. Неstationарное распространение волн и акустики. Уч. записки ЛГУ, в. 32, 1958.
11. Howarth L. The propagation of steady disturbances. Proceed. Camb. Phil. Soc., 44, 1948, 380–390.
12. Багдоев А. Г. Определение параметров движения жидкости в окрестности встречи фронтов волн. Изв. АН АрмССР, Механика, т. XXII, № 5, 1969.